

22K07



MÉSOPROTÉROZOÏQUE

Suite plutonique de Okaopéc

Suite plutonique de Okaopéc

Suite plutonique de Okaopéo

mP_{oka3}	Syénogranite, syénite
mP_{oka2}	Gabbro-norite, leuconorite, norite et gabbro. Peut contenir des oxydes de fer et de titane
mP_{oka1}	Mangérite magnétique, mégacrastique à phénocristaux de feldspath, quantité mineure de monzonite rose porphyrique et de granite

Mangérîte de Sabot (1017 \pm 2 Ma, 1016 \pm 4 Ma, Gobeil *et al.*, 2002)

mP_{sab} Mangérite massive à foliée à grain moyen, mégacristique, un peu de gabbroïnite

Suite de Louis (1060 \pm 2,9 Ma, David, 2006, Moukhsil *et al.*, 2009b; 1046 \pm 14 Ma, Davis et Talla Kama en préparation)

mP_{lou3} Leuconorite et norite porphyroblastique (grenat, orthopyroxène, clinopyroxène). Quantité mineure de gabbro, gabbronorite, poche pegmatique à oxyde de fer et titane, monzodiorite, proxénite à olivine

mP_{lou2} Gabbro et gabbronorite à forte susceptibilité magnétique, localement, riche en oxydes de fer et de titane (ilménite), en magnétite et apatite, classé OAGN (Oxydes-Apatite-Gabbronorite). L'unité contient de rares niveaux de pyroxénite et de nelsonite

mP Gabbro, gabbronorite à texture ophitique ou subophitique, contenant de l'orthopyroxène ou du clinopyroxène en partie ou entièrement remplacés par de la hornblende; diorite et gabbro en lambeaux, en enclaves ou en injections boudinées dans les unités encaissantes; pyroxénite.

Suite plutonique de Castoréum

mP_{ctm} Granite porphyrique à porphyroclastique, localement magnétique, charnockite, gneiss granitique, quantités mineures de mangérite et de monzonite, dykes de pegmatites granitiques

Complexe de Hulot (1434 \pm 64/-28 Ma, Gobeil *et al.*, 2002; 1376 \pm 2 Ma, 1373 \pm 3 Ma; Gobeil *et al.*, 2005; 1394 \pm 10 Ma, Davis et Talla Kama, en préparation)

mP_{uloi} Gneiss tonalitique à dioritique dérivé de la déformation et de la migmatitisation des faciès de ulo2 (enderbite foliée), ulo3 (tonalite à diorite), ulo4 (granite-monzonite), ulo5 (granite), ulo6 (charnockite), ulo7 (brèche à matrice mangérienne). Renferme de radeaux de roches supracrustales (paragneiss et paragneiss migmatitisés et migmatite) et d'amphibolite

Suite plutonique de Bardoux (1497.6 ± 8 Ma, Moukhlil et al., 2012)

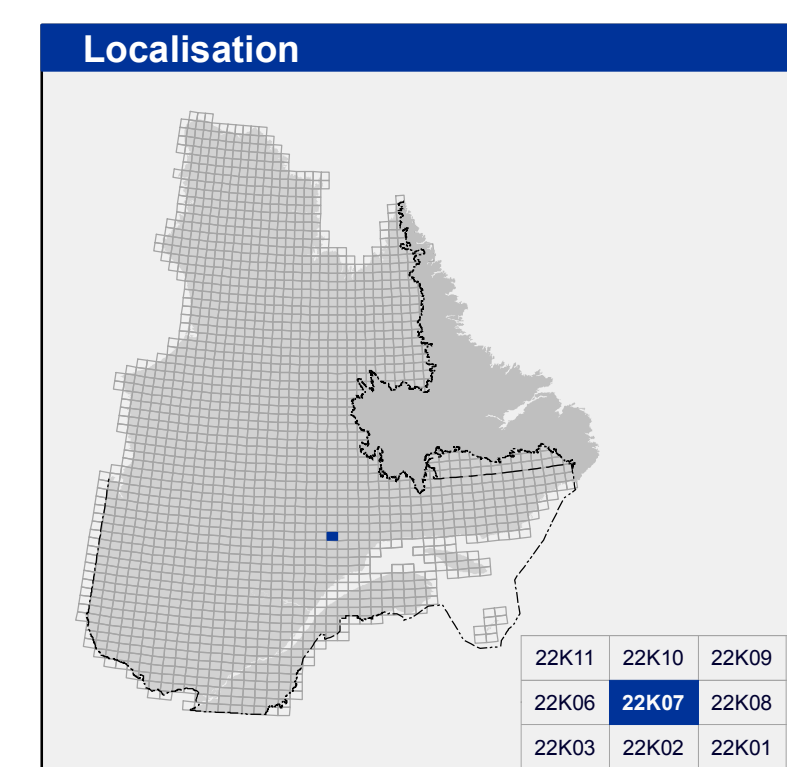
mP_{barl} Granite à grenat et à biotite, porphyrique, rapakivique. Présence d'évidences de mélange de magma. Quantité mineure de monzonite et de monzodiorite

Complexe de la Plus-Value (<1765 Ma, >1487,6 Ma, Moukhsil *et al.*, 2012, 2013)

mP_{plv2} Paragneiss à biotite ± sillimanite ± graphite ± grenat. Rares niveaux de quartzite (mm à cm) et boudins de roches calco-silicatées

mP_{plvl} Paragneiss quartzofeldspathique à biotite plus ou moins migmatitisé; migmatite; granite d'anatexis. Quantité mineure de boudins de quartzite et de roches calco-silicatées.

Les symboles et abréviations utilisés sur cette carte sont décrits dans la publication PRO 2000-08 du ministère des Ressources naturelles.



Métadonnées

Surface de référence géodésique :	Ellipsoïde GRS 80
Système de référence géodésique :	NAD 83 compatible avec le système mondial WGS 84
Projection cartographique :	Mercator transverse universelle (MTU), fuseau 19
Longitude d'origine :	68°45'
Latitude d'origine :	0°

Sources

Données

Base de données pour aménagement
du territoire (BDAT) échelle 1/100 000

Organisme
Ministère des Ressources naturelles

Réalisation

Géologie : Abdelali Moukhsil, Fabien Solgadi, Abdelaziz Elbasbas (2013)

Références : Pierre-Thomas Poulin

Assistance technique :

Production : Ministère des Ressources naturelles
Direction générale de Géologie Québec

Diffusion : Ministère des Ressources naturelles
Direction de l'information géologique du Québec

Le présent document n'a aucune portée légale
© Gouvernement du Québec, 4^e trimestre 2013

22K07

CG-22K07-2013-01

Pour obtenir les données les plus récentes concernant cette région, nous vous suggérons de consulter les produits géomatiques du Système d'information géominère du Québec (SIGÉOM)